

Pure Pursuit und RRT

auf der F1/10 Plattform

J. Greten, J. Bahn, S. Fleischmann, K. Pöschel

Institute for Electrical Engineering in Medicine (UZL)

1. Juli 2020

Zusammenfassung

Verwendete Software

Die Karte

RRT und RRT*

Pure Pursuit

Umsetzung innerhalb der Simulation

Umsetzung außerhalb der Simulation

Fazit

Quellen und Code

Verwendete Software

- ▶ ROS mit C++
- ▶ Skeleton-Code von der University of Pennsylvania für Simulation
- ▶ Visualisierung mit rviz

Die Karte

- Generierung durch Hector SLAM



Abbildung 1: normale Karte

- Vergrößerte Hindernisse für RRT

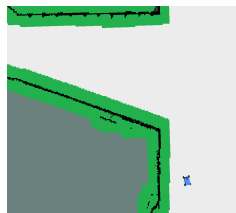


Abbildung 2: Karte mit vergrößerten Kanten

RRT

- ▶ Erzeugung eines zufälligen Punkts q_{rand} .
- ▶ Suche nach $q_{nearest}$ in bestehendem Graphen.
- ▶ Erstelle q_{new} in Richtung $q_{nearest}$ in festgelegter Schrittlänge.
- ▶ Wenn kein Hindernis zwischen $q_{nearest}$ und q_{new} liegt, füge q_{new} dem Graphen hinzu.

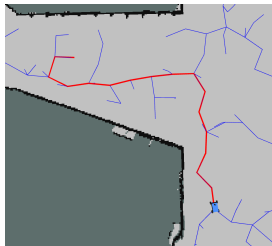


Abbildung 3: RRT

Hürden bei der Umsetzung:

- ▶ Visualisierung
- ▶ Kollisions-Überprüfung
- ▶ Menge an Parametern

- ▶ Erweiterung von RRT.
- ▶ Nach Erstellung von q_{new} wird innerhalb einer Nachbarschaft geprüft, ob die Kosten über $q_{nearest}$ kleiner sind als die Kosten über die anderen erreichbaren Knoten und füge q_{new} mit dem Knoten mit den geringsten Kosten als Elternknoten dem Graphen hinzu.
- ▶ Überprüfe alle Knoten der Nachbarschaft, ob die Kosten mit q_{new} als Elternknoten geringer sind und aktualisiere die Verwandtschaftsverhältnisse nach den optimalen Kosten.

RRT*

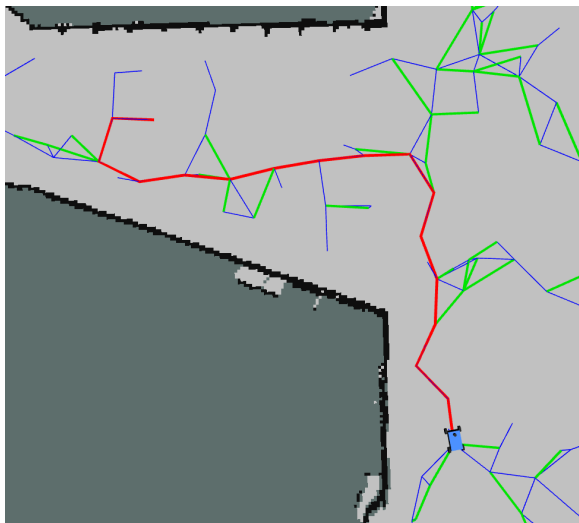


Abbildung 4: RRT*

Hürden bei der Umsetzung:

- ▶ Definition der Nachbarschaft (Radiusberechnung)
 $\min(\eta \cdot (\log(n)/n) \cdot 1/2, step_length).$
- ▶ Laufzeitkomplexität

Pure Pursuit

- ▶ Controller zum Fahren des Pfades
- ▶ Suchen von einem Punkt P auf Trajektorie, der eine *lookahead distance* vom Auto entfernt ist
- ▶ Kreisbogen berechnen, der sowohl auf Punkt P und Position des Autos liegt
- ▶ Glättung der Trajektorie beim Abfahren

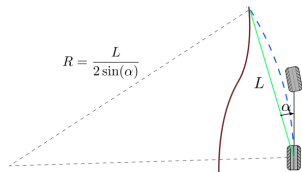


Abbildung 5: Geometrie eines Pure Pursuit Controllers

Quelle: Paden et al (2016)

Berechnung vom Look-Ahead-Punkt

- Berechnung zwischen welchen beiden RRT-Nodes der Punkt liegt
- Berechnung der möglichen Positionen von P
- Verwende die Position, die näher am Ziel ist

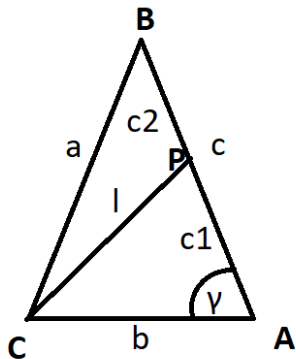


Abbildung 6: Berechnung vom Look-Ahead-Punkt

$$c_1 = b \cos(\gamma) \pm \sqrt{b^2 (\cos(\gamma))^2 - b^2 + l^2}$$

Umsetzung innerhalb der Simulation

Nun folgt eine kurze Präsentation.

Umsetzung außerhalb der Simulation

- ▶ Vicon Motion Capture System für Position
- ▶ Zusätzliche ros packages aus älterem Skeleton-Code

Fazit

- ▶ RRT/RRT* und Pure Pursuit arbeiten gut zusammen
- ▶ Die Laufzeitkomplexität unserer Implementierung von RRT* ist mindestens quadratisch.
- ▶ Die Struktur der Daten ist nicht optimal für die benötigte Funktionalität.
- ▶ Geschwindigkeitsberechnung in der Bahnplanung könnte zu besseren Ergebnissen führen

Quellen und Code

Code:

https://github.com/JakobGreten/f110_pure_pursuit_rrt

Quellen:

<https://github.com/mlab-upenn/f110-fall2019-skeletons>

https://github.com/cyphyhouse/f1tenth_code

<https://github.com/mlab-upenn/f110-fall2018-skeletons>

https://github.com/mlab-upenn/f110_rrt_skeleton

Bildquelle und Literatur:

Paden et al (2016) - A Survey of Motion Planning and Control
Techniques for Self-driving Urban Vehicles

Ende

Fragen